

有限差分法

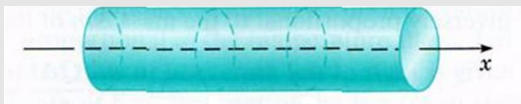
案例 2：均匀直棒热传导问题

1 均匀直棒热传导问题

- 背景问题与数学建模
- 有限差分方法
- 算法设计与实现
- 数值实验
- 理论分析

设一根长为 l 的均匀直棒，水平放置，试建立热流穿过直棒的数学模型。

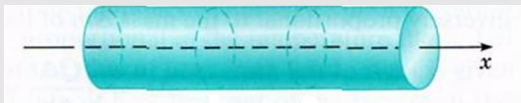
为了叙述的方便，将 x 轴(即横轴)的正向取为水平方向向右，直棒的左端点为原点，直棒的右端点为 l ，如下图所示。



下面设温度函数 u 仅与时间变量 t 和空间变量 x 有关，即 $u = u(x, t)$ 。

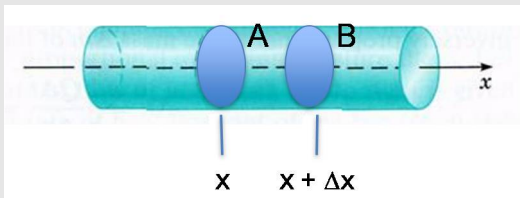
下面基于如下两个基本原理来建立数学模型.

- ① Fourier 定律: 在导热现象中, 单位时间内通过单位截面的热能 (量), 正比例于垂直于该截面方向上的温度变化率 $\partial u / \partial x$, 其中比例因子 $k(x)$ 称为热传导系数。
- ② 比热容定律: 在时间 Δt 内将质量为 m 的物体温度升高 Δu 所吸收的热能为 $c(x)m(x)\Delta u$, 其中 $c(x)$ 为物体材料的比热容。



采用微元法进行分析，考虑微元

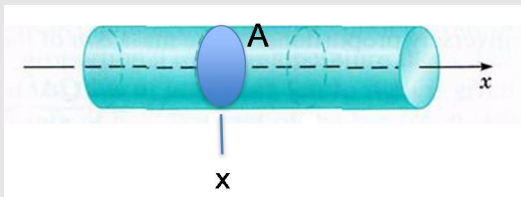
$$[x, x + \Delta x] \times [t, t + \Delta t]$$



由 Fourier 定律，在时间 Δt 内流经截面 A (坐标为 x) 处的热能为

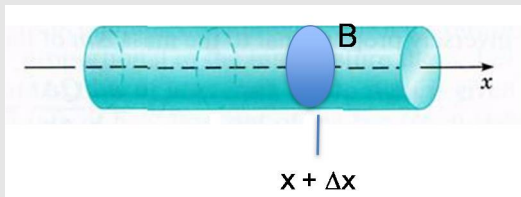
$$H(x) = -\Delta t k(x) \frac{\partial u}{\partial x}(x, t)$$

负号表示热量从温度高的地方流向温度低的地方。



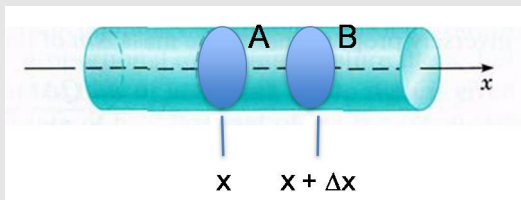
同样，在时间 Δt 内，流经截面 B (坐标为 $x + \Delta x$) 处的热能为

$$H(x + \Delta x) = -k(x + \Delta x)\Delta t \frac{\partial u}{\partial x}(x + \Delta x, t)$$



因此, 在时间 Δt 内, 区间 $[x, x + \Delta x]$ 中热能的变化为

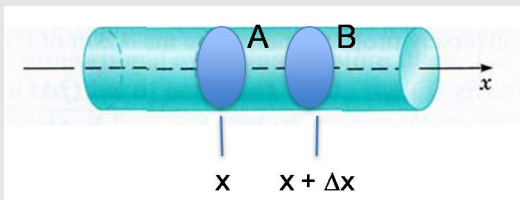
$$\begin{aligned} H(x + \Delta x) - H(x) = & (-k(x + \Delta x) \frac{\partial u}{\partial x}(x + \Delta x, t) \\ & + k(x) \frac{\partial u}{\partial x}(x, t)) \Delta t \end{aligned} \quad (1)$$



另外, 由比热容定律知: 在时间 Δt 内, 区间 $[x, x + \Delta x]$ 中热能变化为:

$$-c \cdot m \cdot \Delta u = -c(x) \cdot (\rho(x)\Delta x) \cdot \Delta u \quad (2)$$

其中 $\rho(x)$ 为直棒的线密度, 负号表示流出。



利用 (1) 和 (2), 由热能守恒定律, 有

$$\begin{aligned} & -c(x) \cdot (\rho(x)\Delta x) \cdot \Delta u \\ & = (-k(x + \Delta x) \frac{\partial u}{\partial x}(x + \Delta x, t) \\ & \quad + k(x) \frac{\partial u}{\partial x}(x, t)) \Delta t \end{aligned}$$

两端同时除以 $-\Delta t \Delta x$, 我们有

$$\frac{c(x) \cdot \rho(x) \cdot \Delta u}{\Delta t} = \frac{1}{\Delta x} \left(k(x + \Delta x) \frac{\partial u}{\partial x}(x + \Delta x, t) - k(x) \frac{\partial u}{\partial x}(x, t) \right)$$

取极限 $\Delta t, \Delta x \rightarrow 0$, 可得:

$$c(x) \rho(x) \frac{\partial u}{\partial t}(x, t) = \frac{\partial}{\partial x} \left(k(x) \frac{\partial u}{\partial x}(x, t) \right)$$

如果 k, c, ρ 均为常数, 则上述方程可写为:

$$\frac{\partial u}{\partial t} = a \frac{\partial^2 u}{\partial x^2}, \quad (u_t = a u_{xx})$$

其中 $a = \frac{k}{c \cdot \rho}$ 。这就是一维的热传导方程。

根据具体的问题背景, 我们还需给出适当的初始时刻的温度分布 $u(x, 0)$ 以及边界条件 $u(0, t)$ 和 $u(l, t)$

一维热传导方程:

$$\begin{aligned}\frac{\partial u}{\partial t} &= a \frac{\partial^2 u}{\partial x^2}, \quad 0 < x < l, \quad t > 0, \\ u(0, t) &= g_0(t), \quad t > 0, \\ u(l, t) &= g_1(t), \quad t > 0, \\ u(x, 0) &= u_0(x), \quad 0 < x < l.\end{aligned}\tag{3}$$

若直棒内部还有热源 $f(x)$, 则方程为:

$$\begin{aligned}\frac{\partial u}{\partial t} &= a \frac{\partial^2 u}{\partial x^2} + f(x), \quad 0 < x < l, \quad t > 0, \\ u(0, t) &= g_0(t), \quad t > 0, \\ u(l, t) &= g_1(t), \quad t > 0, \\ u(x, 0) &= u_0(x), \quad 0 < x < l.\end{aligned}\tag{4}$$

下面, 针对如下一维热传导方程初边值问题(抛物方程)

$$\begin{cases} \frac{\partial u}{\partial t} = a \frac{\partial^2 u}{\partial x^2} + f(x), & (x, t) \in G, \\ u(x, 0) = \phi(x), & 0 < x < l, \\ u(0, t) = u(l, t) = 0, & 0 \leq t \leq T, \end{cases} \quad (5)$$

在均匀网格剖分下, 介绍有限差分法。

回顾有限差分法的步骤:

- 1 网格剖分
- 2 导数的差分离散
- 3 初边值条件处理

网格剖分

取空间步长和时间步长为 $h = \frac{l}{N}$, $\tau = \frac{T}{M}$

分别对空间变量 x 所属的区间 $[0, l]$ 和时间变量 t 所属的区间 $[0, T]$ 做如下均匀剖分:

$$0 = x_0 < x_1 < \cdots < x_N = l, \quad 0 = t_0 < t_1 < \cdots < t_M = T$$

其中 $x_i = ih$, $t_k = k\tau$.

用两族平行直线 $x = x_j$ ($0, 1, \cdots, N$) 和 $t = t_k$ ($k = 0, 1, \cdots, M$) 将矩形域 \bar{G} 分割成矩形网格, 网格节点集合为

$$\bar{G}_h = G_h \cup \Gamma_h = \{(x_j, t_k) : 0 \leq j \leq N; 0 \leq k \leq M\}$$

其中

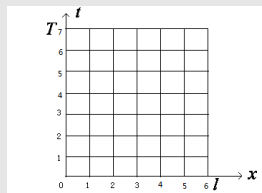
$$G_h = \{(x_j, t_k) : 0 < j < N; 0 < k \leq M\}$$

为网格内节点集合.

$$\Gamma_h = \{(x_j, t_k) : j = 0, N; k = 1, \dots, M\} \cup \{(x_j, t_0) : j = 0, \dots, N\}$$

为网格边界节点集合.

下图为当 $N = 6$ 和 $M = 7$ 时 (它们分别是沿 x 和 t 方向的剖分段数) 的矩形网格剖分图.



导数的差分离散与初边值条件处理

用 u_j^k 表示差分解在网格节点 (x_j, t_k) 处的分量, 下面采用逐层计算的思想建立差分方程 (格式).

设从第 0 个时间层到第 $k \geq 0$ 个时间层的差分解分量

$$u_j^i, \quad i = 0, \dots, k; \quad j = 0, \dots, N$$

已经求得.

下面通过对 “适当内节点” 处的微分方程

$$\frac{\partial u}{\partial t} = a \frac{\partial^2 u}{\partial x^2} + f(x)$$

进行差分离散,

建立第 $k+1$ 个时间层上的 差分解分量

$$u_j^{k+1}, \quad j = 1, \dots, N-1$$

所满足的关于该内节点的差分方程 (格式).

若上述差分格式中仅涉及当前 (第 $k+1$ 个) 时间层和前一个 (第 k 个) 时间层上差分解分量

$$u_j^k, j = 0, \dots, N$$

则称该差分格式为**二层格式**.

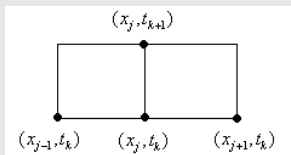
若上述差分格式中除了涉及当前和第 k 个时间层的差分解分量外, 还涉及第 $k-1$ 个时间层的差分解分量

$$u_j^{k-1}, j = 0, \dots, N$$

则称该差分格式为**三层格式**.

下面首先介绍三种常用的**二层格式 (单步法)**.

(一) 向前差分格式



这时将前面所述的“适当内节点”选为网格节点 (x_j, t_k) , 则在该节点处的微分方程为

$$\frac{\partial u}{\partial t}|_{(x_j, t_k)} = a \frac{\partial^2 u}{\partial x^2}|_{(x_j, t_k)} + f(x_j) \quad (6)$$

对 (6) 用直接差分方法进行近似:

$$\frac{\partial u(x_j, t_k)}{\partial t} \approx \frac{u(x_j, t_{k+1}) - u(x_j, t_k)}{\tau} \quad (\text{向前差商}) \quad (7)$$

$$\frac{\partial^2 u(x_j, t_k)}{\partial x^2} \approx \frac{u(x_{j+1}, t_k) - 2u(x_j, t_k) + u(x_{j-1}, t_k))}{h^2} \quad (\text{二阶中心差商}) \quad (8)$$

记 $f_j = f(x_j)$, 将 (7) 和 (8) 代入 (6), 则有关于 (x_j, t_{k+1}) 的向前差分格式,

$$\frac{u_j^{k+1} - u_j^k}{\tau} = a \frac{u_{j+1}^k - 2u_j^k + u_{j-1}^k}{h^2} + f_j \quad (9)$$

在 (9) 两边同乘 τ , 整理可得

$$u_j^{k+1} = ru_{j-1}^k + (1 - 2r)u_j^k + ru_{j+1}^k + \tau f_j \quad (10)$$

其中, $r = a\frac{\tau}{h^2}$ 称为网格比 (简称网比).

利用(10), 并对初边值条件进行处理, 有

$$\begin{cases} u_j^{k+1} = ru_{j-1}^k + (1 - 2r)u_j^k + ru_{j+1}^k + \tau f_j, & j = 1, \dots, N-1; \quad k = 0, \dots, M-1 \\ u_j^0 = u(x_j, 0) = \phi(x_j), & j = 1, \dots, N-1 \\ u_0^k = u(0, t_k) = 0, \quad u_N^k = u(l, t_k) = 0, & k = 0, 1, \dots, M \end{cases} \quad (11)$$

令 $N-1$ 维 (第 k 个网格层) 差分解向量和右端向量

$$U^k = (u_1^k, u_2^k, \dots, u_{N-1}^k)^T, \quad F = (f_1, f_2, \dots, f_{N-1})^T$$

则向前差分格式 (10) 的矩阵表示为:

$$U^{k+1} = A_0 U^k + \tau F \quad (12)$$

其中

$$A_0 = \begin{bmatrix} 1-2r & r & & & \\ & r & 1-2r & r & \\ & & \ddots & \ddots & \ddots \\ & & & r & 1-2r & r \\ & & & & r & 1-2r \end{bmatrix}_{(N-1) \times (N-1)}$$

由此可见：

- ① 利用 (11) 可逐层求出差分分量

在 (11) 中, 取 $k = 0$, 利用初值 $u_j^0 = \phi(x_j)$ ($j = 1, \dots, N-1$) 和边值 $u_0^0 = u_N^0 = 0$, 可算出第一层的 u_j^1 ($j = 1, \dots, N-1$);

在 (11) 中, 取 $k = 1$, 利用 u_j^1 ($j = 1, \dots, N-1$) 和边值 $u_0^1 = u_N^1 = 0$, 可算出第二层的 u_j^2 ($j = 1, \dots, N-1$);

.....

- ② 向前差分格式 (11) 是一种显格式, 即为了求出差分, 无需求解线性代数方程组.

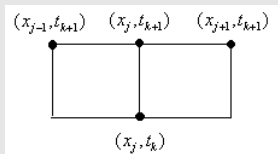
引入向前差分算子 $L_h^{(1)}$, 它满足

$$L_h^{(1)} u_j^k = \frac{u_j^{k+1} - u_j^k}{\tau} - a \frac{u_{j+1}^k - 2u_j^k + u_{j-1}^k}{h^2}.$$

可以证明向前差分格式 (9) 的截断误差为

$$R_j^k(u) = O(\tau + h^2).$$

(二) 向后差分格式



这时将“适当内节点”选为网格节点 (x_j, t_{k+1}) , 则在该节点处的微分方程为

$$\frac{\partial u}{\partial t} \Big|_{(x_j, t_{k+1})} = a \frac{\partial^2 u}{\partial x^2} \Big|_{(x_j, t_{k+1})} + f(x_j) \quad (13)$$

对 (13) 用直接差分方法进行近似:

$$\frac{\partial u(x_j, t_{k+1})}{\partial t} \approx \frac{u(x_j, t_{k+1}) - u(x_j, t_k)}{\tau} \quad (\text{向后差商}) \quad (14)$$

$$\frac{\partial^2 u(x_j, t_{k+1})}{\partial x^2} \approx \frac{u(x_{j+1}, t_{k+1}) - 2u(x_j, t_{k+1}) + u(x_{j-1}, t_{k+1}))}{h^2} \quad (\text{二阶中心差商}) \quad (15)$$

将 (14) 和 (15) 代入 (13), 则有关于 (x_j, t_{k+1}) 的向后差分格式,

$$\frac{u_j^{k+1} - u_j^k}{\tau} = a \frac{u_{j+1}^{k+1} - 2u_j^{k+1} + u_{j-1}^{k+1}}{h^2} + f_j \quad (16)$$

在 (16) 两边同乘 τ , 整理可得

$$-ru_{j-1}^{k+1} + (1 + 2r)u_j^{k+1} - ru_{j+1}^{k+1} = u_j^k + \tau f_j \quad (17)$$

利用(17), 并对初边值条件进行处理, 有

$$\begin{cases} -ru_{j-1}^{k+1} + (1 + 2r)u_j^{k+1} - ru_{j+1}^{k+1} = u_j^k + \tau f_j, j = 1, \dots, N-1; k = 0, \dots, M-1 \\ u_j^0 = u(x_j, 0) = \phi(x_j), j = 1, \dots, N-1 \\ u_0^k = u(0, t_k) = 0, u_N^k = u(l, t_k) = 0, k = 0, 1, \dots, M \end{cases} \quad (18)$$

向后差分格式 (17) 的矩阵表示为

$$A_1 U^{k+1} = U^k + \tau F \quad (19)$$

其中

$$A_1 = \begin{bmatrix} 1+2r & -r & & & \\ -r & 1+2r & -r & & \\ & \ddots & \ddots & \ddots & \\ & & -r & 1+2r & -r \\ & & & -r & 1+2r \end{bmatrix}_{(N-1) \times (N-1)}$$

由此可见：

- ① 利用 (18) 可逐层求出差分解分量
- ② 向后差分格式 (18) 是一种隐格式, 即为了求解第 $k+1$ 层上的差分解分量, 需求解线性代数方程组 (19). 注意 (19) 的系数矩阵 A_1 为三对角阵 (对角占优), 因此可以用“追赶法”进行求解, 其运算复杂度为 $O(N)$.

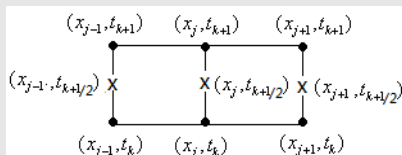
引入向后差分算子 $L_h^{(2)}$, 它满足

$$L_h^{(2)} u_j^k = \frac{u_j^{k+1} - u_j^k}{\tau} - a \frac{u_{j+1}^{k+1} - 2u_j^{k+1} + u_{j-1}^{k+1}}{h^2}$$

可以证明向后差分格式 (17) 的截断误差为

$$R_j^k(u) = O(\tau + h^2).$$

(三) 六点对称格式 (Crank-Nicholson格式)



这时将“适当内节点”选为“网格节点” $(x_j, t_{k+1/2})$ (网格节点 (x_j, t_k) 和 (x_j, t_{k+1}) 的中点), 则在该节点处的微分方程为

$$\frac{\partial u}{\partial t} \Big|_{(x_j, t_{k+1/2})} = a \frac{\partial^2 u}{\partial x^2} \Big|_{(x_j, t_{k+1/2})} + f(x_j) \quad (20)$$

对 (20) 用直接差分方法进行近似:

$$\frac{\partial u(x_j, t_{k+1/2})}{\partial t} \approx \frac{u(x_j, t_{k+1}) - u(x_j, t_k)}{\tau} \quad (\text{一阶中心差商}) \quad (21)$$

$$\frac{\partial^2 u(x_j, t_{k+1/2})}{\partial x^2} \approx \frac{u(x_{j+1}, t_{k+1/2}) - 2u(x_j, t_{k+1/2}) + u(x_{j-1}, t_{k+1/2})}{h^2}$$

由此并利用

$$u(x_{j+m}, t_{k+1/2}) \approx \frac{u(x_{j+m}, t_k) + u(x_{j+m}, t_{k+1})}{2}, \quad m = 0, \pm 1$$

可得

$$\frac{\partial^2 u(x_j, t_{k+1/2})}{\partial x^2} \approx \frac{1}{2} \left[\frac{u_{j+1}^{k+1} - 2u_j^{k+1} + u_{j-1}^{k+1}}{h^2} + \frac{u_{j+1}^k - 2u_j^k + u_{j-1}^k}{h^2} \right] \quad (22)$$

将 (21) 和 (22) 代入 (20), 则可得关于 (x_j, t_{k+1}) 的六点对称格式,

$$\frac{u_j^{k+1} - u_j^k}{\tau} = \frac{a}{2} \left[\frac{u_{j+1}^{k+1} - 2u_j^{k+1} + u_{j-1}^{k+1}}{h^2} + \frac{u_{j+1}^k - 2u_j^k + u_{j-1}^k}{h^2} \right] + f_j \quad (23)$$

在 (23) 两边同乘 τ , 整理可得

$$-\frac{r}{2}u_{j-1}^{k+1} + (1+r)u_j^{k+1} - \frac{r}{2}u_{j+1}^{k+1} = \frac{r}{2}u_{j-1}^k + (1-r)u_j^k + \frac{r}{2}u_{j+1}^k + \tau f_j \quad (24)$$

利用(24), 并对初边值条件进行处理, 有

$$\begin{cases} -\frac{r}{2}u_{j-1}^{k+1} + (1+r)u_j^{k+1} - \frac{r}{2}u_{j+1}^{k+1} = \frac{r}{2}u_{j-1}^k + (1-r)u_j^k + \frac{r}{2}u_{j+1}^k + \tau f_j \\ \quad j = 1, \dots, N-1; k = 0, \dots, M-1 \\ u_j^0 = u(x_j, 0) = \phi(x_j), j = 1, \dots, N-1 \\ u_0^k = u(0, t_k) = 0, u_N^k = u(l, t_k) = 0, k = 0, 1, \dots, M \end{cases} \quad (25)$$

注: 六点对称格式也可通过将向前、向后差分格式 (9) 和 (16) 做算术平均得到.

六点对称格式 (24) 的矩阵表示为

$$A_1 U^{k+1} = A_0 U^k + \tau F \quad (26)$$

其中

$$A_0 = \begin{bmatrix} 1-r & \frac{r}{2} & & & & \\ \frac{r}{2} & 1-r & \frac{r}{2} & & & \\ & \ddots & \ddots & \ddots & & \\ & & \frac{r}{2} & 1-r & \frac{r}{2} & \\ & & & \frac{r}{2} & 1-r & \end{bmatrix}_{(N-1) \times (N-1)}$$

$$A_1 = \begin{bmatrix} 1+r & -\frac{r}{2} & & & & \\ -\frac{r}{2} & 1+r & -\frac{r}{2} & & & \\ & \ddots & \ddots & \ddots & & \\ & & -\frac{r}{2} & 1+r & -\frac{r}{2} & \\ & & & -\frac{r}{2} & 1+r & \end{bmatrix}_{(N-1) \times (N-1)}$$

由此可知:

- ① 利用 u_j^0 和边值便可逐层求得 u_j^k .
- ② 六点对称格式 (25) 也是一种隐格式.

引入六点对称差分算子 $L_h^{(3)}$, 它满足

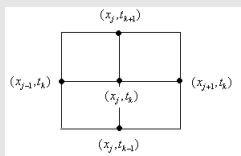
$$L_h^{(3)} u_j^k = \frac{u_j^{k+1} - u_j^k}{\tau} - \frac{a}{2} \left[\frac{u_{j+1}^{k+1} - 2u_j^{k+1} + u_{j-1}^{k+1}}{h^2} + \frac{u_{j+1}^k - 2u_j^k + u_{j-1}^k}{h^2} \right]$$

可以证明六点对称格式 (23) 的截断误差为

$$R_j^k(u) = O(\tau^2 + h^2).$$

下面介绍一种三层格式(多步法).

(四) Richardson格式



这时将前面所述的“适当内节点”选为网格节点 (x_j, t_k) , 则在该节点处的微分方程为

$$\frac{\partial u}{\partial t}|_{(x_j, t_k)} = a \frac{\partial^2 u}{\partial x^2}|_{(x_j, t_k)} + f(x_j) \quad (27)$$

它是建立Richardson差分格式的源头.

对 (27) 用直接差分方法进行近似:

$$\frac{\partial u(x_j, t_k)}{\partial t} \approx \frac{u(x_j, t_{k+1}) - u(x_j, t_{k-1})}{2\tau} \quad (\text{一阶中心差商}) \quad (28)$$

$$\frac{\partial^2 u(x_j, t_k)}{\partial x^2} \approx \frac{u(x_{j+1}, t_k) - 2u(x_j, t_k) + u(x_{j-1}, t_k))}{h^2} \quad (\text{二阶中心差商}) \quad (29)$$

将 (28) 和 (29) 代入 (27), 则有关于 (x_j, t_{k+1}) 的 Richardson 差分格式,

$$\frac{u_j^{k+1} - u_j^{k-1}}{2\tau} = a \frac{u_{j+1}^k - 2u_j^k + u_{j-1}^k}{h^2} + f_j \quad (30)$$

在 (30) 两边同乘 τ , 整理可得

$$u_j^{k+1} = 2r(u_{j+1}^k - 2u_j^k + u_{j-1}^k) + u_j^{k-1} + 2\tau f_j \quad (31)$$

利用(31), 并对初边值条件进行处理, 有

$$\begin{cases} u_j^{k+1} = 2r(u_{j+1}^k - 2u_j^k + u_{j-1}^k) + u_j^{k-1} + 2\tau f_j, \\ \quad \quad \quad j = 1, \dots, N-1; k = 0, \dots, M-1 \\ u_j^0 = u(x_j, 0) = \phi(x_j), j = 1, \dots, N-1 \\ u_0^k = u(0, t_k) = 0, u_N^k = u(l, t_k) = 0, k = 0, 1, \dots, M \end{cases} \quad (32)$$

Richardson 差分格式 (31) 的矩阵表示为

$$U^{k+1} = A_1 U^k + U^{k-1} + 2\tau F \quad (33)$$

其中

$$A_1 = \begin{bmatrix} -4r & 2r & & & \\ 2r & -4r & 2r & & \\ & \ddots & \ddots & \ddots & \\ & & 2r & -4r & 2r \\ & & & 2r & -4r \end{bmatrix}_{(N-1) \times (N-1)}$$

由此可见:

- ① 为了使计算能够逐层进行, 除初值 u_j^0 外, 还要用到 u_j^1 , 这可以用前面介绍的两层格式计算.
- ② Richardson 差分格式 (32) 是一种显格式.

引入 Richardson 差分算子 $L_h^{(4)}$, 它满足

$$L_h^{(4)} u_j^k = \frac{u_j^{k+1} - u_j^{k-1}}{2\tau} - a \frac{u_{j+1}^k - 2u_j^k + u_{j-1}^k}{h^2}$$

可以证明 Richardson 差分格式 (30) 的截断误差为

$$R_j^k(u) = O(\tau^2 + h^2).$$

习题 1 导出向前（向后）差分格式 (16), 六点对称格式 (23) 及 Richardson 差分格式 (30) 的截断误差.

习题 2 pp.112 3.1.2

注: 除了以上四种差分格式外, 还可以作出许多逼近 (5) 的差分格式, 但并不是每一个差分格式都是可用的. 衡量一个差分格式是否经济适用, 主要由以下几个方面的因素决定:

► 计算简单.

显格式 (计算最简单): 向前差分格式, Richardson 差分格式;

隐格式 (若系数矩阵为三对角矩阵, 计算也简单): 向后差分格式, Richardson 差分格式.

► 收敛性和收敛速度.

截断误差阶为 $O(\tau^2 + h^2)$: 六点对称格式, Richardson 格式;

截断误差阶为 $O(\tau + h^2)$: 向前差分格式, 向后差分格式.

► 稳定性.

首先考察 Richardson 差分格式是否按初值稳定.

取关于空间变量 x 所属区域 $[0, l]$ 上的剖分段数 $N = 2M$, 记差分解序列 (或差分解网函数) $\{u_j^k\}, \{v_j^k\}$ 分别满足

$$\begin{cases} u_j^{k+1} = 2r(u_{j+1}^k - 2u_j^k + u_{j-1}^k) + u_j^{k-1} + 2\tau f_j \\ \quad j = 1, \dots, N-1; k = 0, \dots, M-1 \\ u_j^0 = u(x_j, 0) = 0, \quad j = 1, \dots, N-1 \\ u_0^k = u(0, t_k) = 0, \quad u_N^k = u(l, t_k) = 0, \quad k = 0, 1, \dots, M \end{cases}$$

和

$$\begin{cases} v_j^{k+1} = 2r(v_{j+1}^k - 2v_j^k + v_{j-1}^k) + v_j^{k-1} + 2\tau f_j \\ \quad j = 1, \dots, N-1; k = 0, \dots, M-1 \\ v_j^0 = v(x_j, 0) = \delta_{jM}\varepsilon, \quad j = 1, \dots, N-1 \\ v_0^k = v(0, t_k) = 0, \quad v_N^k = v(l, t_k) = 0, \quad k = 0, 1, \dots, M \end{cases}$$

令内节点 (x_j, t_k) 处的误差分量 $e_j^k = v_j^k - u_j^k$, 则误差序列 $\{e_j^k\}$ 满足如下差分方程:

$$\begin{cases} e_j^{k+1} = 2r(e_{j+1}^k - 2e_j^k + e_{j-1}^k) + e_j^{k-1} \\ j = 1, \dots, N-1; k = 0, \dots, M-1 \\ e_j^0 = \delta_{jM}\varepsilon, j = 1, \dots, N-1 \\ e_0^k = 0, e_N^k = 0, k = 0, 1, \dots, M \end{cases}$$

假设整个计算的过程均是精确的, 且设 $e_j^{-1} = 0$, 则当 $r = 1/2$ 时通过计算可知初始误差的传递情况如下表所示:

$k \backslash j$	$M-3$	$M-2$	$M-1$	M	$M+1$	$M+2$	$M+3$
0	0	0	0	ε	0	0	0
1	0	0	ε	-2ε	ε	0	0
2	0	ε	-4ε	7ε	-4ε	ε	0
3	ε	-6ε	17ε	-24ε	17ε	-6ε	ε
4	-8ε	31ε	-68ε	89ε	-68ε	31ε	-8ε
5	49ε	-144ε	273ε	388ε	273ε	-144ε	49ε
6	-260ε	641ε	-1096ε	1311ε	-1096ε	641ε	-260ε

从上表可知, 误差随着 $k \rightarrow \infty$ 无限增长, 所以该差分格式是不稳定的. 实际上对于任何 $r > 0$ 都有类似的现象, 所以该格式是绝对不稳定的.

由此可知, 虽然 Richardson 格式是显格式, 且其截断误差的阶为 $O(\tau^2 + h^2)$, 但从稳定性方面来看, 它是不可用的.

注: 当 $k \rightarrow \infty$ 时, 意味着 $M \rightarrow \infty$, 因此 $\tau = O(M^{-1}) \rightarrow 0$. 由此并注意 $r = a \frac{\tau}{h^2} = 1/2$ 为一固定值, 所以有 $h \rightarrow 0$.

接下来考察向前差分格式是否稳定

同样取关于空间变量 x 所属区域 $[0, l]$ 上的剖分段数 $N = 2M$, 记差分解序列 (或差分解网函数) $\{u_j^k\}, \{v_j^k\}$ 分别满足

$$\begin{cases} u_j^{k+1} = ru_{j-1}^k + (1-2r)u_j^k + ru_{j+1}^k + \tau f_j, \\ \quad j = 1, \dots, N-1; k = 0, \dots, M-1 \\ u_j^0 = u(x_j, 0) = 0, \quad j = 1, \dots, N-1 \\ u_0^k = u(0, t_k) = 0, \quad u_N^k = u(l, t_k) = 0, \quad k = 0, 1, \dots, M \end{cases}$$

和

$$\begin{cases} v_j^{k+1} = rv_{j-1}^k + (1-2r)v_j^k + rv_{j+1}^k + \tau f_j, \\ \quad j = 1, \dots, N-1; k = 0, \dots, M-1 \\ v_j^0 = v(x_j, 0) = \delta_{jM}\varepsilon, \quad j = 1, \dots, N-1 \\ v_0^k = v(0, t_k) = 0, \quad v_N^k = v(l, t_k) = 0, \quad k = 0, 1, \dots, M \end{cases}$$

那么此时误差序列 $\{e_j^k\}$ 满足如下差分方程:

$$\begin{cases} e_j^{k+1} = re_{j-1}^k + (1-2r)e_j^k + re_{j+1}^k, j=1, \dots, N-1; k=0, \dots, M-1 \\ e_j^0 = \delta_{jM}\varepsilon, j=1, \dots, N-1 \\ e_0^k = 0, e_N^k = 0, k=0, 1, \dots, M \end{cases}$$

同样取 $r = 1/2$, 初始误差的传递情况如下表所示:

$k \backslash j$	$M-3$	$M-2$	$M-1$	M	$M+1$	$M+2$	$M+3$
0	0	0	0	ε	0	0	0
1	0	0	0.5ε	0	0.5ε	0	0
2	0	0.25ε	0	0.5ε	0	0.25ε	0
3	0.125ε	0	0.375ε	0	0.375ε	0	0.125ε
4	0	0.25ε	0	0.375ε	0	0.25ε	0

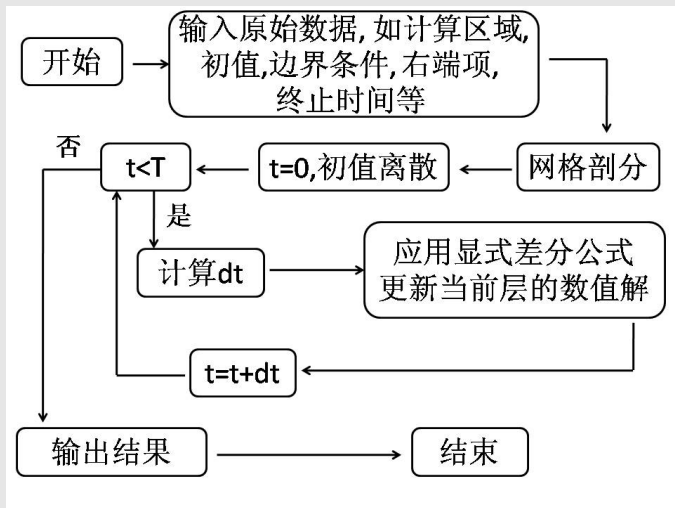
由上表可知, 误差逐渐衰减. 因此当 $r = 1/2$ 时向前差分格式是可取的.

考虑如下热传导问题差分离散的算法实现,

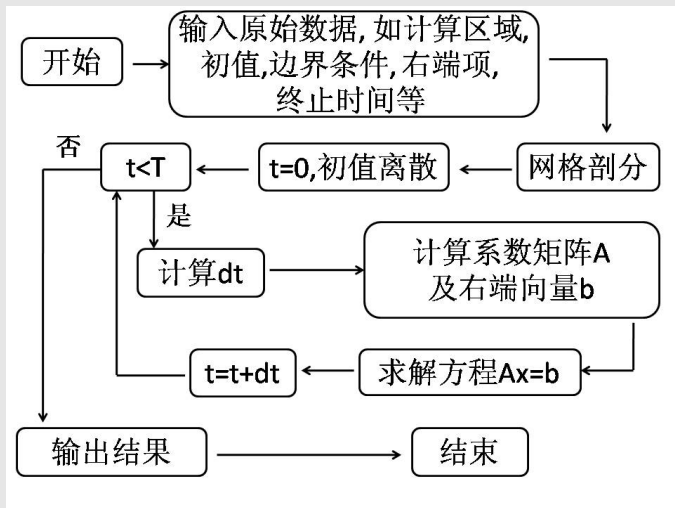
$$\begin{aligned}\frac{\partial u}{\partial t} - k \frac{\partial^2 u}{\partial x^2} &= f(x, t), \\ u(L, t) &= u_L(x), \quad u(R, t) = u_R(x), \\ u(x, 0) &= u_0(x).\end{aligned}$$

首先给出算法的流程, 时间离散方面分别考虑显式、隐式和Crank-Nicolson方法, 然后给出实现算法的Matlab代码。

显式算法流程



隐式算法流程



主测试 matlab 脚本程序

```
%% 一维热传导方程有限差分方法主测试脚本 main_test.m
% 依次测试:
%     向前差分
%     向后差分
%     六点对称格式
% 并可视化数值计算结果。
%
% 作者: 魏华祎 <weihuayi@xtu.edu.cn>

td = model_data(); %模型数据结构体

% 向前差分格式
[X,T,U] = heat_equation_fd1d(100,10000,td,'forward');
showvarysolution(X,T,U);% 以随时间变化方式显示数值解
showsolution(X,T,U); % 以二元函数方式显示数值解

% 向后差分格式
[X,T,U] = heat_equation_fd1d(100,100,td,'backward');
showvarysolution(X,T,U);% 以随时间变化方式显示数值解
showsolution(X,T,U); % 以二元函数方式显示数值解
```

主测试 matlab 脚本程序 ||

```
% 六点对称格式，即 Crank-Nicholson 格式  
[X,T,U] = heat_equation_fd1d(100,100,td,'crank-nicholson');  
showvarysolution(X,T,U); % 以随时间变化方式显示数值解  
showsolution(X,T,U); % 以二元函数方式显示数值解
```

有限差分方法实现

```

function [X,T,U] = heat_equation_fd1d(NS,NT,td,method)
%% HEAT_EQUATION_FD1D 利用有限差分方法计算一维热传导方程
%
% 输入参数:
%     NT 整型, 时间剖分段数
%     NS 整型, 空间剖分段数
%     td 结构体, 待求解的微分方程模型的已知数据,
%         如边界、初始、系数和右端项等条件
%     method 字符串, 代表求解所用离散格式
%         F 或 f 或 forward : 向前差分格式
%         B 或 b 或 backward : 向后差分格式
%         CN 或 cn 或 crank-nicholson 或 Crank-Nicholson :
%             -- 六点对称格式( Crank-Nicholson 格式)
%
% 输出参数:
%     X 长度为的列向量, 空间网格剖分 N
%     T 第度为的行向量, 时间网格剖分 M
%     U N*M 矩阵, U(:,i) 表示第 i 个时间层网格部分上的数值解
%
% 作者: 魏华祎 <weihuayi@xtu.edu.cn>

```

有限差分方法实现



```

[X,h] = td.space_grid(NS);
[T,tau] = td.time_grid(NT);
N = length(X);M = length(T);
r = td.a*tau/h/h;
if r >= 0.5 && ismember(method,{'F','f','forward'})
    error('时间空间离散不满足向前差分的稳定条件! ')
end
U = zeros(N,M);
U(:,1) = td.u_initial(X);
U(1,:) = td.u_left(T);
U(end,:) = td.u_right(T);
switch(method)
    case {'F','f','forward'}
        forward();
    case {'B','b','backward'}
        backward();
    case {'CN','cn','crank-nicholson','Crank-Nicholson'}
        crank_nicholson();
    otherwise
        disp(['Sorry, I do not know your ', method]);
end

```

有限差分方法实现



%% 向前差分方法

```
function forward()
    d = 1 - 2*ones(N-2,1)*r;
    c = ones(N-3,1)*r;
    A = diag(c,-1) + diag(c,1)+diag(d);
    for i = 2:M
        RHS = tau*td.f(X,T(i));
        RHS(2) = RHS(2) + r*U(1,i-1);
        RHS(end-1) = RHS(end-1) + r*U(end,i-1);
        U(2:end-1,i)=A*U(2:end-1,i-1)+ RHS(2:end-1);
    end
end
```

%% 向后差分方法

```
function backward()
    d = 1 + 2*ones(N-2,1)*r;
    c = -ones(N-3,1)*r;
    A = diag(c,-1) + diag(c,1)+diag(d);
    for i = 2:M
        RHS = tau*td.f(X,T(i));
        RHS(2) = RHS(2) + r*U(1,i);
        RHS(end-1) = RHS(end-1) + r*U(end,i);
```

有限差分方法实现 IV

```

        U(2:end-1,i)=A\ (U(2:end-1,i-1)+ RHS(2:end-1));
    end
end
%% 六点对称格式, 即 Crank_Nicholson 格式
function crank_nicholson()
    d1 = 1 + ones(N-2,1)*r;
    d2 = 1 - ones(N-2,1)*r;
    c = 0.5*ones(N-3,1)*r;
    A1 = diag(-c,-1) + diag(-c,1)+diag(d1);
    A0 = diag(c,-1) + diag(c,1) + diag(d2);
    for i = 2:M
        RHS = tau*td.f(X,T(i));
        RHS(2) = RHS(2) + 0.5*r*(U(1,i)+U(1,i-1));
        RHS(end-1) = RHS(end-1) + ...
            0.5*r*(U(end,i)+U(end,i-1));
        U(2:end-1,i)=A1\ (A0*U(2:end-1,i-1)+ RHS(2:end-1));
    end
end
end
end

```

可视化

```

function showvarysolution(X,T,U)
%%  SHOWVARYSOLUTION  显示数值解随着时间的变化
%
%  输入参数:
%      X 长度为的列向量, 空间网格剖分  $N$ 
%      T 第度为的行向量, 时间网格剖分  $M$ 
%      U  $N*M$  矩阵,  $U(:,i)$  表示第  $i$  个时间层网格部分上的数值解
%
%  作者: 魏华祎 <weihuayi@xtu.edu.cn>

M = size(U,2);
figure
xlabel('X');
ylabel('U');
s = [X(1),X(end),min(min(U)),max(max(U))];
axis(s);
for i = 1:M
    plot(X,U(:,i));
    axis(s);
    pause(0.0001);

```


可视化 II

```
title(['T=', num2str(T(i)), '时刻的温度分布'])
end

function showsolution(X,T,U)
%% SHOWSOLUTION 以二元函数方式显示数值解
%
% 输入参数:
%     X 长度为的列向量, 空间网格剖分 $N$ 
%     T 第度为的行向量, 时间网格剖分 $M$ 
%     U  $N*M$  矩阵,  $U(:,i)$  表示第  $i$  个时间层网格部分上的数值解
%
% 作者: 魏华祎 <weihuayi@xtu.edu.cn>

[x,t] = meshgrid(X,T);
mesh(x,t,U');
xlabel('X');
ylabel('T');
zlabel('U(X,T)');

end
```

算例 1: 我们利用有限差分法去求解

$$\begin{aligned}\frac{\partial u}{\partial t} - k \frac{\partial^2 u}{\partial x^2} &= 0, \\ u(0, t) &= 0, \quad u(1, t) = 0, \\ u(x, 0) &= e^{-\frac{(x-0.25)^2}{0.01}} + 0.1 \sin(20\pi x).\end{aligned}$$

其中系数 $k = 1$.

模型数据的 Matlab 实现如下:

```
function td = model_data()
% MODEL_DATA 模型数据

td = struct('u_initial',@u_initial,'u_left',@u_left,...
    'u_right',@u_right,'f',@f,'time_grid',@time_grid,...
    'space_grid',@space_grid,'a',1);

function [T,tau] = time_grid(NT)
    T = linspace(0,0.1,NT);
    tau = 0.1/NT;
```

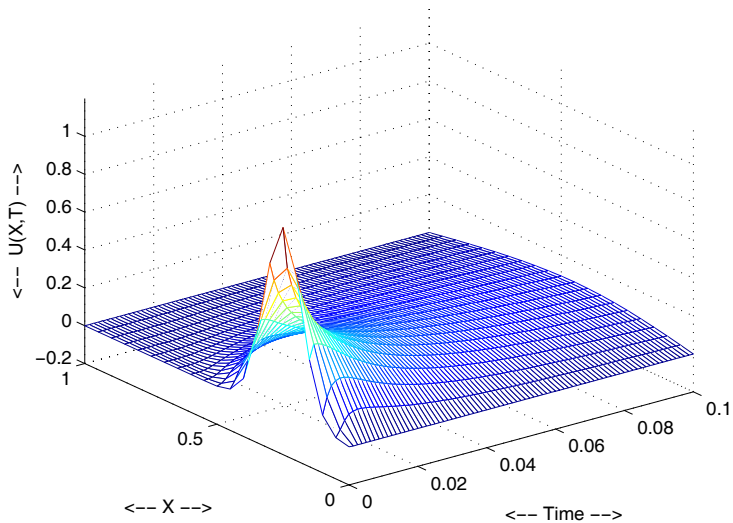
```
end
function [X,h] = space_grid(NS)
    X = linspace(0,1,NS)';
    h = 1/NS;
end
function u = u_initial(x)
    u = exp(-(x-0.025).^2/0.01)+0.1*sin(20*pi*x);
end

function u = u_left(t)
    u = zeros(size(t));
end

function u = u_right(t)
    u = zeros(size(t));
end

function f = f(x,t)
    f = zeros(size(x));
end
end
```

U(X,T) computed by FD1D_HEAT_EQUATION_EXPLICIT



上机实验题目

pp.112 3.1.1

类似于案例 1 中关于两点边值问题（椭圆型微分方程）的有限差分法：

相容性+稳定性 \Rightarrow 收敛性

前面格式均满足相容性.

下面重点讨论稳定性.

两种稳定性

记 $N-1$ 维向量

$$U^k = (u_1^k, u_2^k, \dots, u_{N-1}^k)^T, \quad F = (f_1, f_2, \dots, f_{N-1})^T$$

前面的二层差分格式可统一表示为:

$$AU^{k+1} = BU^k + \tau F \quad (34)$$

其中 A 和 B 是 $(N-1) \times (N-1)$ 矩阵, 且 A 可逆.
记矩阵 $C = A^{-1}B$, 则 (34) 可以等价的写成

$$U^{k+1} = CU^k + \tau A^{-1}F \quad (35)$$

例如: 对于向前差分格式: $A = I$,

$$\begin{aligned}
 B &= \begin{bmatrix} 1-2r & r & & & \\ r & 1-2r & r & & \\ & \ddots & \ddots & \ddots & \\ & & r & 1-2r & r \\ & & & r & 1-2r \end{bmatrix}_{(N-1) \times (N-1)} \\
 &= (1-2r)I + rS
 \end{aligned}$$

其中

$$S = \begin{pmatrix} 0 & 1 & \cdots & 0 & 0 \\ 1 & 0 & \cdots & 0 & 0 \\ \vdots & \vdots & & \vdots & \vdots \\ 0 & 0 & \cdots & 0 & 1 \\ 0 & 0 & \cdots & 1 & 0 \end{pmatrix} \quad (36)$$

故对于向前差分格式

$$C = (1 - 2r)I + rS$$

类似:

对于向后差分格式:

$$A = (1 + 2r)I - rS, \quad B = I, \quad C = [(1 + 2r)I - rS]^{-1}$$

对于六点对称格式:

$$\begin{aligned} A &= (1 + r)I - \frac{r}{2}S, \quad B = (1 - r)I - \frac{r}{2}S \\ C &= [(1 + r)I - \frac{r}{2}S]^{-1}[(1 - r)I - \frac{r}{2}S] \end{aligned}$$

对三层或多层格式, 总可适当的引进新变量化成二层格式.

以 Richardson 格式为例, 其矩阵形式为

$$\begin{cases} U^{k+1} = 2r(S - 2I)U^k + U^{k-1} \\ U^k = U^k \end{cases}$$

令 $W^k = (U^k, U^{k-1})^T$, 则上述方程组可转化为

$$W^{k+1} = CW^k$$

其中 $2(N-1)$ 阶矩阵

$$C = \begin{pmatrix} 2r(S - 2I) & I \\ I & 0 \end{pmatrix}.$$

下面分别给出按初值和按右端稳定的概念.

定义: 设任给两初值 W^0 和 V^0 , 按公式 (35) 分别求得数值解 W^k 和 V^k . 若存在正常数 τ_0 和 K , 使得对一切 $0 < \tau \leq \tau_0$ 和 $0 < k\tau \leq T$, 均有

$$\|W^k - V^k\| \leq K \|W^0 - V^0\| \quad (37)$$

则称 (35) 关于初值稳定。

因为 W^k 和 V^k 分别是初值为 W^0 和 V^0 时 (35) 的数值解, 所以

$$W^k = CW^{k-1} + \tau A^{-1}F$$

$$V^k = CV^{k-1} + \tau A^{-1}F$$

两式相减, 得

$$E^k := W^k - V^k = C(W^{k-1} - V^{k-1}) := CE^{k-1}$$

\Rightarrow

$$E^k = C^k E^0$$

上式两边取矩阵的欧氏空间 R^{N-1} 中的某种范数, 则

$$\|E^k\| \leq \|C^k\| \cdot \|E^0\| \quad (38)$$

由 (38) 知: 为了使得 (35) 关于初值稳定, 要求 (传递) 矩阵族 $\{C^k\}$ 一致有界, 即存在正常数 τ_0 和 K , 使得

$$\|C^k\| \leq K, 0 < \tau \leq \tau_0, 0 < k\tau \leq T \quad (39)$$

其中 (39) 中矩阵范数为向量从属范数.

定义： 设任意给定右端向量 F_1 和 F_2 ，从初值 U^0 出发，按公式 (35) 分别求得数值解 W^k 和 V^k 。若存在正常数 τ_0 和 M ，使得对一切 $0 < \tau \leq \tau_0$ 和 $0 < k\tau \leq T$ ，均有

$$\|W^k - V^k\| \leq M \|F_1 - F_2\| \quad (40)$$

则称 (35) 关于右端稳定。

因为 W^k 和 V^k 分别是右端向量为 F_1 和 F_2 时 (35) 的数值解, 所以

$$W^k = CW^{k-1} + \tau A^{-1}F_1$$

$$V^k = CV^{k-1} + \tau A^{-1}F_2$$

两式相减, 得

$$W^k - V^k = C(W^{k-1} - V^{k-1}) + \tau A^{-1}(F_1 - F_2) \quad (41)$$

记 $X^k := W^k - V^k$, $F := F_1 - F_2$, 则 (41) 可以改写为

$$X^k = CX^{k-1} + \tau A^{-1}F$$

因此, 可递归地得到 (注意 $X^0 = 0$)

$$\begin{aligned} X^k &= CX^{k-1} + \tau A^{-1}F \\ &= C(CX^{k-2} + \tau A^{-1}F) + \tau A^{-1}F \\ &= C^2X^{k-2} + \tau(C + I)A^{-1}F \\ &= \dots\dots\dots \\ &= C^kX^0 + \tau(C^{k-1} + C^{k-2} + \dots + C + I)A^{-1}F \\ &= \tau(C^{k-1} + C^{k-2} + \dots + C + I)A^{-1}F \end{aligned} \quad (42)$$

定理 1 设 $\|A^{-1}\| \leq K'$ (不依赖于 τ 的正常数), 如果格式 (35) 按初值稳定, 且其中的矩阵范数为从属范数, 则它亦按右端稳定.

证明: 若格式 (35) 按初值稳定, 则有 (39) 成立, 即存在正常数 τ_0 和 K , 使得

$$\|C^k\| \leq K, 0 < \tau \leq \tau_0, 0 < k\tau \leq T$$

由 (42) 并利用上式, 有

$$\begin{aligned} \|X^k\| &= \tau \|(C^{k-1} + \cdots + C + I)A^{-1}F\| \\ &\leq \tau (\|C^{k-1}\| + \cdots + \|C\| + 1) \cdot \|A^{-1}\| \cdot \|F\| \\ &\leq \tau k\tilde{K} \|A^{-1}\| \cdot \|F\| \quad (\tilde{K} = \max\{K, 1\}) \\ &\leq T\tilde{K} \|A^{-1}\| \cdot \|F\| \end{aligned} \tag{43}$$

$$\leq T\tilde{K}K' \cdot \|F\| \tag{44}$$

取 $M = T\tilde{K}K'$, 即得证格式 (35) 按右端稳定. □

注：上述是针对 f 与时间 t 无关的情形进行讨论的，若 f 与时间 t 有关，则只需用 $\sup_k \|F^k\|$ 代替上述不等式右端的 F 即可.

下面我们仅讨论按初值稳定.

两类方法:

- 1 代数方法
- 2 Fourier 方法

下面设网比 r 为常数(即系数 a 为常数), 空间变量 $x \in [0, 1]$.

代数方法 (矩阵法) 或直接估计方法

由 (39), 差分格式稳定的充要条件是

$$\|C^k\| \leq K, 0 < \tau \leq \tau_0, 0 < k\tau \leq T$$

一般情况, 直接验证上述条件相当困难, 下面希望给出其它更容易验证的判别条件, 为此首先给出稳定性的必要条件.

命题 1 (必要条件) 差分格式 (35) 稳定的必要条件是, 存在与 τ ($0 < \tau \leq \tau_0$) 无关的正常数 M , 使得

$$\rho(C) \leq 1 + M\tau \quad (45)$$

这里, $\rho(C)$ 为矩阵 C 的谱半径。

证明: 由 (39) 知 (注意矩阵范数 $\|\cdot\|$ 为某种从属范数)

$$\rho^k(C) \leq \|C^k\| \leq K, \quad 0 < k \leq \frac{T}{\tau}, \quad 0 < \tau \leq \tau_0 \quad (46)$$

不妨设 $K > 1$, 且 T 可以被 τ 整除, 在上式中取 $k = T/\tau$, 则有

$$\rho(C) \leq K^{\frac{T}{\tau}} = e^{\frac{T}{\tau} \ln K} \quad (47)$$

又当 $\tau_0 \leq \frac{T}{\ln K}$ 时, 对一切 $0 < \tau \leq \tau_0$, 有 (注意 $e^x = 1 + xe^\xi$),

$$e^{\frac{T}{\tau} \ln K} = 1 + \left(\frac{T}{\tau} \ln K\right) e^\xi \leq 1 + \tau \left(\frac{1}{T} \ln K\right) e^{\frac{\tau_0}{T} \ln K} \quad (48)$$

$$\leq 1 + \left(\frac{e}{T} \ln K\right) \tau, \quad (49)$$

由 (47) 和 (48) 知 ($M = \frac{e}{T} \ln K$)

$$\rho(C) \leq 1 + M\tau$$

条件 (45) 称为 **Von Neumann 条件**, 下面我们考虑判断稳定性的充要条件.

定义 若 $A \in C^{n \times n}$ 满足 $A^H A = A A^H$ 则称 A 为正规矩阵, 这里 A^H 表示 A 的共轭转置, 即 $A^H = \bar{A}^T$.

例如酉矩阵, Hermite 矩阵, 实对称矩阵等均为正规矩阵.

命题 2 (充分条件) 若 $C(\tau)$ 是正规矩阵, 则条件 (45) 也是差分格式 (35) 稳定的充分条件。

证明: 此时取 $\|\cdot\|$ 为矩阵的 2 范数, 则有 $\|C(\tau)\| = \rho(C)$, 由 (45) 可知 (注意 $(1+x)^{\frac{1}{x}} \leq e, x \rightarrow 0^+$)

$$\begin{aligned}\|C^k(\tau)\| &\leq \|C(\tau)\|^k = \rho^k(C) \leq (1 + M\tau)^k \\ &\leq (1 + M\tau)^{\frac{T}{\tau}} \leq K < \infty.\end{aligned}$$



推论 1 若 W 是 $N-1$ 阶对称矩阵, $C(\tau) = R(W)$ 是矩阵 W 的实系数有理函数, 则差分格式 (35) 稳定的充要条件是

$$\max_j |R(\lambda_j^W)| \leq 1 + M\tau, \quad 0 < \tau \leq \tau_0$$

其中 λ_j^W ($j = 1, \dots, N-1$) 是 W 的第 j 个特征值.

事实上, 由于 W 是对称矩阵, 易知 $C(\tau)$ 也是对称矩阵, 且其特征值为 $R(\lambda_j^W)$, 从而由命题 2 可知

$$\rho(C) = \max_j |R(\lambda_j^W)| \leq 1 + M\tau$$



下面, 利用 Von Neumann 条件判定前面建立的四种差分格式的稳定性.

注意: 由 (36) 定义的矩阵 S 的特征值 (见第四章 4.1 节)

$$\lambda_j^S = 2 \cos j\pi h, \quad j = 1, \dots, N-1, \quad h = \frac{1}{N}$$

例 1 向前差分格式

该格式所对应的矩阵 $C = (1 - 2r)I + rS$ 是对称矩阵 S 的实系数有理函数, 因此其特征值为

$$\begin{aligned} \lambda_j^C &= (1 - 2r) + r\lambda_j^S \\ &= 1 - 2r(1 - \cos j\pi h) \\ &= 1 - 4r\sin^2 \frac{j\pi h}{2}, \quad j = 1, \dots, N-1 \end{aligned}$$

因此, 由推论 1 知: 向前差分格式稳定的充要条件是 (对一切 $0 < \tau \leq \tau_0$)

$$\left| 1 - 4r \sin^2 \frac{j\pi h}{2} \right| \leq 1 + M_\tau, \quad j = 1, \dots, N-1$$

$$\Leftrightarrow -1 - M_\tau \leq 1 - 4r \sin^2 \frac{j\pi h}{2} \leq 1 + M_\tau$$

$$\Leftrightarrow -M_\tau \leq 4r \sin^2 \frac{j\pi h}{2} \leq 2 + M_\tau$$

$$\Leftrightarrow 2r \sin^2 \frac{j\pi h}{2} \leq 1 + \frac{M}{2} \tau \quad (50)$$

$$\Leftrightarrow r \leq \frac{1}{2} \quad (\text{证明见后}) \quad (51)$$

关于 (50) \Rightarrow (51) 的证明.

反证法, 设 $r = \frac{1}{2} + \varepsilon$ ($\varepsilon > 0$), 代入 (50) 得

$$2 \times \left(\frac{1}{2} + \varepsilon\right) \sin^2 \frac{j\pi h}{2} \leq 1 + \frac{M}{2} \tau, \quad 0 < \tau \leq \tau_0, \quad j = 1, 2, \dots, N-1$$

即

$$(1 + 2\varepsilon) \sin^2 \frac{j\pi h}{2} \leq 1 + \frac{M}{2} \tau, \quad 0 < \tau \leq \tau_0, \quad j = 1, 2, \dots, N-1$$

在上式中取 $j = N-1$ (即 $jh = 1-h$), 则其左端为

$$(1 + 2\varepsilon)(1 + O(h))$$

而右端为

$$1 + O(\tau)$$

所以当 $\tau \rightarrow 0$ 时 (等价 $h \rightarrow 0$), 产生矛盾.



例 2 向后差分格式

这时相应的正规矩阵

$$C = [(1 + 2r)I - rS]^{-1},$$

其特征值 (对一切 $0 < \tau \leq \tau_0$) $\lambda_j^C \leq 1$, $j = 1, \dots, N - 1$
故向后差分格式对于任意 $r > 0$ 恒稳定 (习题).

例 3 六点对称格式

这时相应的正规矩阵

$$C = [(1 + r)I - \frac{r}{2}S]^{-1}[(1 - r)I - \frac{r}{2}S],$$

其特征值 (对一切 $0 < \tau \leq \tau_0$) $\lambda_j^C \leq 1$, $j = 1, \dots, N - 1$
故六点对称格式对于任意 $r > 0$ 恒稳定 (习题).

例 4 Richardson 格式

这时相应的正规矩阵

$$C = \begin{pmatrix} 2r(S - 2I) & I \\ I & 0 \end{pmatrix}$$

设 μ 为 C 的特征值, $w = (w_1, w_2)^T$ 为相应的非平凡特征向量,
即 $Cw = \mu w$ 或

$$2r(S - 2I)w_1 + w_2 = \mu w_1 \quad (52)$$

$$w_1 = \mu w_2 \quad (53)$$

显然 $w_2 \neq 0$ (否则导出 $w_1 = 0$, 即 w 为平凡特征向量). 将 (53)
代入 (52), 得

$$2\mu r(S - 2I)w_2 + w_2 = \mu^2 w_2$$

\Leftrightarrow

$$Sw_2 = \left(2 + \frac{\mu}{2r} - \frac{1}{2\mu r}\right)w_2.$$

由此可见 $\lambda = 2 + \frac{\mu}{2r} - \frac{1}{2\mu r}$ 是 S 的特征值, 而 S 的第 j 个特征值为

$$\lambda_j^S = 2 \cos j\pi h, \quad j = 1, \dots, N-1, \quad h = \frac{1}{N},$$

所以, λ_j^S 所对应的矩阵 C 的特征值 μ_j 满足

$$2 \cos j\pi h = 2 + \frac{\mu_j}{2r} - \frac{1}{2\mu_j r}$$

两边同时乘以 $2\mu_j r$, 则上述方程可表示为

$$\mu_j^2 + 4\mu_j r(1 - \cos j\pi h) - 1 = 0$$

\Leftrightarrow

$$\mu_j^2 + 8\mu_j r \sin^2 \frac{j\pi h}{2} - 1 = 0$$

由此可得 μ_j 的两个根为

$$\mu_j^m = -4r \sin^2 \frac{j\pi h}{2} \pm \sqrt{16r^2 \sin^4 \frac{j\pi h}{2} + 1}, \quad m = 1, 2$$

至此就求得了矩阵 C 的所有特征值

$$\mu_j^m, \quad j = 1, \dots, N-1; \quad m = 1, 2$$

因此其谱半径 (对于任意 $r > 0$)

$$\begin{aligned} \rho(C) = \max_j (|\mu_j^1|, |\mu_j^2|) &= \max_j \left| 4r \sin^2 \frac{j\pi h}{2} + \sqrt{16r^2 \sin^4 \frac{j\pi h}{2} + 1} \right| \\ &> r + \sqrt{1 + r^2} > 1 + r \end{aligned}$$

所以 Richardson 格式恒不稳定.

Fourier 方法

● 二层格式

一般二层格式的矩阵形式为

$$AU^{k+1} = BU^k + \tau F$$

$$\Leftrightarrow (j = 1, \dots, N-1)$$

$$a_1 u_{j+1}^{k+1} + a_0 u_j^{k+1} + a_{-1} u_{j-1}^{k+1} = b_1 u_{j+1}^k + b_0 u_j^k + b_{-1} u_{j-1}^k + \tau f_j \quad (54)$$

其中

① $u_0^{k+1} = u_N^{k+1} = 0 = u_0^k = u_N^k$ (齐次边值条件).

② a_m 和 b_m ($m = 0, \pm 1$) 不依赖 j 但与 τ (或 h) 有关.

特别

向前差分格式

$$u_j^{k+1} = ru_{j-1}^k + (1 - 2r)u_j^k + ru_{j+1}^k + \tau f_j$$

$$a_1 = a_{-1} = 0, \quad a_0 = 1; \quad b_1 = b_{-1} = r, \quad b_0 = 1 - 2r$$

向后差分格式

$$-ru_{j+1}^{k+1} + (1 + 2r)u_j^{k+1} - ru_{j-1}^{k+1} = u_j^k + \tau f_j$$

$$a_1 = a_{-1} = -r, \quad a_0 = 1 + 2r; \quad b_1 = b_{-1} = 0, \quad b_0 = 1$$

六点对称格式

$$-\frac{r}{2}u_{j+1}^{k+1} + (1 + r)u_j^{k+1} - \frac{r}{2}u_{j-1}^{k+1} = \frac{r}{2}u_{j+1}^k + (1 - r)u_j^k + \frac{r}{2}u_{j-1}^k + \tau f_j$$

$$a_1 = a_{-1} = -\frac{r}{2}, \quad a_0 = 1 + r; \quad b_1 = b_{-1} = \frac{r}{2}, \quad b_0 = 1 - r$$

按初值稳定的条件为 (K 为正常数)

$$\|U^k\|_{R^{N-1}} \leq K \|U^0\|_{R^{N-1}} \quad (55)$$

下面利用 Fourier (级数) 方法, 给出 (55) 的若干等价条件.

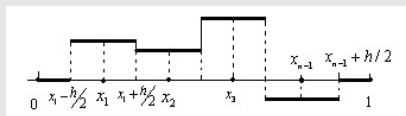
其主要步骤:

Step 1. 通过将第 k 个时间层的差分解向量 U^k 在 $I = [0, 1]$ 上延拓, 得到 (55) 的一个等价条件.

将 U^k 延拓成 I 上的阶梯函数

$$u_k(x) = \begin{cases} 0, & 0 \leq x \leq x_1 - \frac{h}{2} \\ u_1^k, & x_1 - \frac{h}{2} \leq x \leq x_1 + \frac{h}{2} \\ \vdots \\ u_j^k, & x_j - \frac{h}{2} \leq x \leq x_j + \frac{h}{2} \\ \vdots \\ u_{N-1}^k, & x_{N-1} - \frac{h}{2} \leq x \leq x_{N-1} + \frac{h}{2} \\ 0, & x_{N-1} + \frac{h}{2} \leq x \leq 1 \end{cases} \quad (56)$$

其图像如下:



由 (56) 式, 有

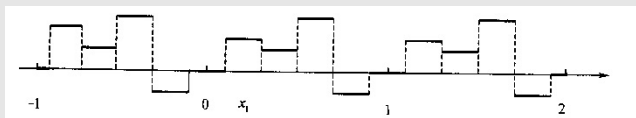
$$\|u_k\|_{L^2(I)}^2 = \int_0^1 u_k^2(x) dx = h \sum_{j=1}^{N-1} (u_j^k)^2 = h \|U^k\|_{R^{N-1}}^2$$

由此知: (55) 等价于

$$\|u_k\|_{L^2}^2 \leq K^2 \|u_0\|_{L^2}^2 \quad (57)$$

Step 2 通过将函数 u_k 在 $(-\infty, \infty)$ 上周期延拓, 得到 (57) 的一个等价条件.

由于 $u_k(0) = 0 = u_k(1)$, 所以可将 $u_k(x)$ 周期延拓到整个实轴.



这时差分方程 (54) 在整个实轴上成立, 特别当 $x \in [0, 1]$ 时, 有

$$a_1 u_{k+1}(x+h) + a_0 u_{k+1}(x) + a_{-1} u_{k+1}(x-h) = b_1 u_k(x+h) + b_0 u_k(x) + b_{-1} u_k(x-h) \quad (58)$$

注: 因为仅考虑按初值稳定, 所以在格式 (54) 中, 不妨设 $f_j = 0$.

将 $u_k(x)$ 在 $x \in [0, 1]$ 上展开成 Fourier 级数 (这里周期为 1):

$$u_k(x) = \sum_{p=-\infty}^{\infty} v_k(p) e^{i2p\pi x}, \quad i = \sqrt{-1} \quad (59)$$

其中

$$v_k(p) = \int_0^1 u_k(x) e^{-i2p\pi x} dx, \quad p = 0, \pm 1, \dots$$

利用 Parseval 等式 (函数 $u_k(x)$ 在区间 $I = [0, 1]$ 上的 L^2 范数与相应的 Fourier 系数序列 $\{v_k(p)\}_{p=-\infty}^{\infty}$ 的 l^2 范数的等价性):

$$\|u_k\|_{L^2(I)}^2 = \sum_{p=-\infty}^{\infty} |v_k(p)|^2 \quad (60)$$

和 (57), 按初值稳定的条件又可转化为

$$\sum_{p=-\infty}^{\infty} |v_k(p)|^2 \leq K^2 \sum_{p=-\infty}^{\infty} |v_0(p)|^2 \quad (61)$$

Step 3. 利用差分方程 (58) 和 Fourier 级数 (59), 给出 (61) 的关于增长因子的等价条件.

将 (58) 写成等价形式

$$\sum_{m=-1}^1 a_m u_{k+1}(x + mh) = \sum_{m=-1}^1 b_m u_k(x + mh)$$

将 (59) 代入上式, 可得

$$\sum_{m=-1}^1 a_m \sum_{p=-\infty}^{\infty} v_{k+1}(p) e^{i2p\pi(x+mh)} = \sum_{m=-1}^1 b_m \sum_{p=-\infty}^{\infty} v_k(p) e^{i2p\pi(x+mh)}$$

即 (注意 $x_m = mh$)

$$\sum_{p=-\infty}^{\infty} v_{k+1}(p) \left(\sum_{m=-1}^1 a_m e^{i2p\pi x_m} \right) e^{i2p\pi x} = \sum_{p=-\infty}^{\infty} v_k(p) \left(\sum_{m=-1}^1 b_m e^{i2p\pi x_m} \right) e^{i2p\pi x}$$

比较上式两边对应的系数, 可得

$$v_{k+1}(p) \sum_{m=-1}^1 a_m e^{i2p\pi x_m} = v_k(p) \sum_{m=-1}^1 b_m e^{i2p\pi x_m} \quad (62)$$

记

$$G(ph, \tau) = \left(\sum_{m=-1}^1 a_m e^{i2p\pi x_m} \right)^{-1} \left(\sum_{m=-1}^1 b_m e^{i2p\pi x_m} \right)$$

则由 (62) 有

$$v_{k+1}(p) = G(ph, \tau) v_k(p)$$

此时 (61) 式

$$\sum_{p=-\infty}^{\infty} |v_k(p)|^2 \leq K^2 \sum_{p=-\infty}^{\infty} |v_0(p)|^2$$

\Leftrightarrow

$$\sum_{p=-\infty}^{\infty} |G^k(ph, \tau) v_0(p)|^2 \leq K^2 \sum_{p=-\infty}^{\infty} |v_0(p)|^2$$

由 $\{v_0(p)\}$ 的任意性知, 上式又等价于

$$|G^k(ph, \tau)| \leq K$$

\Leftrightarrow

$$|G(ph, \tau)| \leq 1 + M\tau \quad (63)$$

称 $G(ph, \tau)$ 为增长因子. (63) 也称 Von Neumann 条件.

命题 1 差分格式 (54) 稳定 $\Leftrightarrow G^k(ph, \tau)$ 一致有界 \Leftrightarrow Von Neumann 条件 (63) 成立.

注: 为了计算两层格式

$$a_1 u_{j+1}^{k+1} + a_0 u_j^{k+1} + a_{-1} u_{j-1}^{k+1} = b_1 u_{j+1}^k + b_0 u_j^k + b_{-1} u_{j-1}^k \quad (64)$$

的增长因子, 只需将通项 (分离变量):

$$u_{j+m}^{k+q} = v_{k+q} e^{i2\pi p(x_{j+m})} = v_{k+q} e^{i2\pi p(x_j + mh)}, \quad q = 0, 1; \quad m = -1, 0, 1$$

或

$$u_{j+m}^{k+q} = v_{k+q} e^{i\alpha(x_j + mh)}, \quad \alpha = 2p\pi$$

代入格式 (64) 中, 再消去 $e^{i\alpha x_j}$ 即可求得增长因子。

例 1 向前差分格式

$$u_j^{k+1} = ru_{j-1}^k + (1 - 2r)u_j^k + ru_{j+1}^k \quad (65)$$

令 $(\alpha = 2p\pi)$

$$u_{j+m}^{k+q} = v_{k+q} e^{i\alpha(x_j + mh)}, \quad q = 0, 1; \quad m = -1, 0, 1 \quad (66)$$

将 (66) 代入 (65), 可得

$$v_{k+1} e^{i\alpha x_j} = v_k [r e^{i\alpha(x_j - h)} + (1 - 2r) e^{i\alpha x_j} + r e^{i\alpha(x_j + h)}]$$

两边约去因子 $e^{i\alpha x_j}$, 得

$$v_{k+1} = v_k [1 - 2r + r(e^{-i\alpha h} + e^{i\alpha h})]$$

由上式知, 增长因子为

$$\begin{aligned} G(ph, \tau) &= 1 - 2r + r(e^{-i\alpha h} + e^{i\alpha h}) \\ &= 1 - 2r(1 - \cos \alpha h) \\ &= 1 - 4r \sin^2 \frac{\alpha h}{2} \end{aligned}$$

由稳定性条件 (Von Neumann 条件):

$$|G(ph, \tau)| \leq 1 + M\tau$$

即

$$|1 - 4r \sin^2 \pi ph| \leq 1 + M\tau$$

因此可得 (参考本章第二节)

$$r \leq \frac{1}{2}$$

例 2 向后差分格式

$$-ru_{j-1}^{k+1} + (1+2r)u_j^{k+1} - ru_{j+1}^{k+1} = u_j^k \quad (67)$$

令

$$u_{j+m}^{k+q} = v_{k+q} e^{i\alpha(x_j + mh)}, \quad q = 0, 1; \quad m = -1, 0, 1$$

将上式代入 (67), 可得

$$v_{k+1}(-re^{i\alpha(x_j - h)} + (1+2r)e^{i\alpha x_j} - re^{i\alpha(x_j + h)}) = v_k e^{i\alpha x_j}$$

两边约去因子 $e^{i\alpha x_j}$, 得

$$v_{k+1}[-re^{-i\alpha h} + (1+2r) - re^{i\alpha h}] = v_k$$

由上式知, 增长因子为

$$\begin{aligned} G(ph, \tau) &= \frac{1}{1 + 2r - r(e^{-i\alpha h} + e^{i\alpha h})} = \frac{1}{1 + 2r(1 - \cos \alpha h)} \\ &= \frac{1}{1 + 4r\sin^2 \frac{\alpha h}{2}} = \frac{1}{1 + 4r\sin^2 ph\pi} \end{aligned}$$

由 Von Neumann 条件知

$$\frac{1}{1 + 4r\sin^2 ph\pi} \leq 1 + M\tau$$

上式对任意的 $\tau > 0$ 均成立, 因此, 向后差分格式无条件稳定 (绝对稳定).

例 3 Grank-Nicholson格式

$$-\frac{r}{2}u_{j-1}^{k+1} + (1+r)u_j^{k+1} - \frac{r}{2}u_{j+1}^{k+1} = \frac{r}{2}u_{j-1}^k + (1-r)u_j^k + \frac{r}{2}u_{j+1}^k \quad (68)$$

将

$$u_{j+m}^{k+q} = v_{k+q} e^{i\alpha(x_j + mh)}, \quad q = 0, 1; \quad m = -1, 0, 1$$

代入 (68), 可得

$$\begin{aligned} & v_{k+1} \left[-\frac{r}{2} e^{i\alpha(x_j - h)} + (1+r) e^{i\alpha x_j} - \frac{r}{2} e^{i\alpha(x_j + h)} \right] \\ &= v_k \left[\frac{r}{2} e^{i\alpha(x_j - h)} + (1-r) e^{i\alpha x_j} + \frac{r}{2} e^{i\alpha(x_j + h)} \right] \end{aligned}$$

两边约去因子 $e^{i\alpha x_j}$, 得

$$v_{k+1} \left[-\frac{r}{2} e^{-i\alpha h} + (1+r) - \frac{r}{2} e^{i\alpha h} \right] = v_k \left[\frac{r}{2} e^{-i\alpha h} + (1-r) + \frac{r}{2} e^{i\alpha h} \right]$$

由上式知, 增长因子为

$$\begin{aligned} G(ph, \tau) &= \frac{\frac{r}{2}e^{-i\alpha h} + (1-r) + \frac{r}{2}e^{i\alpha h}}{-\frac{r}{2}e^{-i\alpha h} + (1+r) - \frac{r}{2}e^{i\alpha h}} \\ &= \frac{1 - r(1 - \cos \alpha h)}{1 + r(1 - \cos \alpha h)} \\ &= \frac{1 - 2r\sin^2 ph\pi}{1 + 2r\sin^2 ph\pi} \end{aligned}$$

由 Von Neumann 条件知

$$\frac{1 - 2r\sin^2 ph\pi}{1 + 2r\sin^2 ph\pi} \leq 1 + M\tau$$

上式对任意的 h 均成立, 因此, Grank-Nicholson 格式无条件稳定 (绝对稳定).

- 判定方程组 (或多层格式) 稳定性的 Fourier 方法

设方程组的阶为 $s \geq 2$, 即每个点有 s 个自由度。此时, 前面标量型抛物方程的二层格式 (设 r 为常数, 且不妨设右端函数为零)

$$a_{-1}u_{j-1}^{k+1} + a_0u_j^{k+1} + a_1u_{j+1}^{k+1} = b_{-1}u_{j-1}^k + b_0u_j^k + b_1u_{j+1}^k$$

就变为

$$A_{-1}U_{j-1}^{k+1} + A_0U_j^{k+1} + A_1U_{j+1}^{k+1} = B_{-1}U_{j-1}^k + B_0U_j^k + B_1U_{j+1}^k \quad (69)$$

其中 A_m, B_m 为 s 阶方阵, U_m 为 s 维向量 ($m = -1, 0, 1$).

例 4 Richardson格式

$$u_j^{k+1} - 2r(u_{j-1}^k - 2u_j^k + u_{j+1}^k) - u_j^{k-1} = 0$$

它等价于差分方程组 (阶 $s = 2$):

$$\begin{cases} u_j^{k+1} = 2r(u_{j-1}^k - 2u_j^k + u_{j+1}^k) + w_j^k \\ w_j^{k+1} = u_j^k \end{cases} \quad (70)$$

\Leftrightarrow

$$U_j^{k+1} = B_{-1}U_{j-1}^k + B_0U_j^k + B_1U_{j+1}^k$$

其中

$$U_j^{k+q} = (u_j^{k+q}, w_j^{k+q})^T, \quad q = 0, 1$$

$$B_{-1} = \begin{pmatrix} 2r & 0 \\ 0 & 0 \end{pmatrix}, \quad B_0 = \begin{pmatrix} -4r & 1 \\ 1 & 0 \end{pmatrix}, \quad B_1 = \begin{pmatrix} 2r & 0 \\ 0 & 0 \end{pmatrix}$$

令 $(\alpha = 2p\pi)$

$$U_{j+m}^{k+q} = V_{k+q} e^{i\alpha(x_j+mh)}, \quad q = 0, 1; \quad m = -1, 0, 1 \quad (71)$$

其中

$$V_{k+q} = (v_{k+q}^1, \dots, v_{k+q}^s)^T, \quad q = 0, 1$$

特别对 Richarson 格式, 上式等价于

$$\begin{cases} u_{j+m}^{k+q} = v_{k+q}^1 e^{i\alpha(x_j+mh)}, \\ w_{j+m}^{k+q} = v_{k+q}^2 e^{i\alpha(x_j+mh)}, \end{cases} \quad q = 0, 1; \quad m = -1, 0, 1 \quad (72)$$

将 (71) 代入 (69) 可求得相应的 s 阶增长矩阵: $G(ph, \tau)$.

例如对于 Richarson 格式, 将 (72) 代入 (70), 可得

$$\begin{cases} v_{k+1}^1 e^{i\alpha x_j} = 2r [v_k^1 e^{i\alpha(x_j-h)} - 2v_k^1 e^{i\alpha x_j} + v_k^1 e^{i\alpha(x_j+h)}] + v_k^2 e^{i\alpha x_j} \\ v_{k+1}^2 e^{i\alpha x_j} = v_k^1 e^{i\alpha x_j} \end{cases}$$

约去因子 $e^{i\alpha x_j}$, 得

$$\begin{cases} v_{k+1}^1 = 2r \cdot v_k^1 (e^{-i\alpha h} - 2 + e^{i\alpha h}) + v_k^2 \\ v_{k+1}^2 = v_k^1 \end{cases}$$

\Leftrightarrow

$$\begin{cases} v_{k+1}^1 = 4rv_k^1(\cos \alpha h - 1) + v_k^2 \\ v_{k+1}^2 = v_k^1 \end{cases}$$

 \Leftrightarrow

$$\begin{cases} v_{k+1}^1 = -8r\sin^2 ph\pi \cdot v_k^1 + v_k^2 \\ v_{k+1}^2 = v_k^1 \end{cases}$$

 \Leftrightarrow

$$V_{k+1} = G(ph, \tau)V_k$$

其中, 2 阶增长矩阵

$$G(ph, \tau) = \begin{pmatrix} -8\sin^2 ph\pi & 1 \\ 1 & 0 \end{pmatrix}$$

命题 2 差分格式 (69) 稳定的充要条件是: s 阶增长矩阵族

$$\{G^k(x_p, \tau) = G^k(ph, \tau) : 0 < \tau \leq \tau_0, 0 < k\tau \leq T, p = 0, \dots, N-1\} \quad (73)$$

一致有界.

命题 3 矩阵族 (73) 一致有界的必要条件是 $G(x_p, \tau)$ 的谱半径

$$\rho(G) \leq 1 + M\tau$$

即 Von Neumann 条件成立. 若 $G(x_p, \tau)$ 是正规矩阵, 则 Von Neumann 条件也是稳定的充分条件.

特别当 $s = 2$ 时, 有

命题 4 设 $G(x_p, \tau) = (g_{ij})_{2 \times 2}$, λ_1 和 λ_2 是 $G(x_p, \tau)$ 的特征值, 则差分格式 (69) 稳定的充要条件是:

$$(1) \quad |\lambda_i(x, \tau)| \leq 1 + M\tau, \quad i = 1, 2 \quad (74)$$

$$(2) \quad \left\| G(x, \tau) - \frac{1}{2}(g_{11}(x, \tau) + g_{22}(x, \tau))I \right\| \leq M(\tau + |1 - |\lambda_1(x, \tau)|| + |\lambda_1(x, \tau) - \lambda_2(x, \tau)|) \quad (75)$$

其中 I 是二阶单位矩阵.

推论 特别若 $G(x_p, \tau)$ 与 τ 无关, 则差分格式 (69) 稳定的充要条件是:

$$(1) \quad |\lambda_i(x)| \leq 1, \quad i = 1, 2 \quad (76)$$

$$(2) \quad \left\| G(x) - \frac{1}{2}(g_{11}(x) + g_{22}(x))I \right\| \leq M(|1 - |\lambda_1(x)|| + |\lambda_1(x) - \lambda_2(x)|), \quad 0 \leq x \leq 1 \quad (77)$$

例如对于 Richardson 格式, 其相应的增长矩阵

$$G(ph, \tau) = \begin{pmatrix} -8\sin^2 ph\pi & 1 \\ 1 & 0 \end{pmatrix}$$

由于 $G(ph, \tau)$ 是对称矩阵, 则由命题 3 可知: 该差分格式稳定的充要条件是

$$\rho(G) \leq 1 + O(\tau)$$

注意 $G(ph, \tau)$ 的特征根满足:

$$\lambda^2 + (8r\sin^2 ph\pi)\lambda - 1 = 0 \quad (78)$$

下面介绍几种利用上述二次多项式方程, 判定 $G(ph, \tau)$ 是否满足 Von Neumann 条件的方法.

方法一：直接利用求根公式

(78) 的两个根分别为

$$\begin{cases} \lambda_1 = -4r\sin^2 ph\pi + \sqrt{16r^2\sin^4 ph\pi + 1} \\ \lambda_2 = -4r\sin^2 ph\pi - \sqrt{16r^2\sin^4 ph\pi + 1} \end{cases}$$

所以

$$\begin{aligned} \rho(G) &= \max\{|\lambda_1|, |\lambda_2|\} = \max_p \left| 4r\sin^2 ph\pi + \sqrt{16r^2\sin^4 ph\pi + 1} \right| \\ &> r + \sqrt{1 + r^2} > 1 + r, \quad \forall r > 0 \end{aligned}$$

即对任意给定的网格比 r ，均不满足 Von Neumann 条件，故 Richardson 格式绝对不稳定。

方法二:

引理 2 实系数二次方程 $\lambda^2 - b\lambda - c = 0$ 的根按模不大于 1 的充要条件是

$$|b| \leq 1 - c \leq 2. \quad (79)$$

对二次多项式方程 (78), 注意相应的 $c = 1$, 所以对任意给定的网格比 r , $\exists p = 0, \pm 1, \dots$, 使得

$$|b| = |-8r \sin^2 ph\pi| > 0 = 1 - c$$

\Rightarrow

方程 (78) 的根不大于 1, 故 Richardson 格式绝对不稳定.

例 5 考虑逼近热传导方程的 Dufort Frankel 格式

$$\frac{u_j^{k+1} - u_j^{k-1}}{2\tau} = \alpha \frac{u_{j+1}^k - u_j^{k+1} - u_j^{k-1} + u_{j-1}^k}{h^2} \quad (80)$$

引进新变量 $w_j^{k+1} = u_j^k$, 将它化为一阶方程组 ($r = \alpha\tau/h^2$):

$$\begin{cases} u_j^{k+1} = \frac{2r}{1+2r}(u_{j+1}^k + u_{j-1}^k) + \frac{1-2r}{1+2r}w_j^k \\ w_j^{k+1} = u_j^k, \end{cases}$$

或

$$\begin{pmatrix} u_j^{k+1} \\ w_j^{k+1} \end{pmatrix} = \begin{pmatrix} \frac{2r}{1+2r}(\delta_1 + \delta_{-1}), & \frac{1-2r}{1+2r} \\ 1, & 0 \end{pmatrix} \begin{pmatrix} u_j^k \\ w_j^k \end{pmatrix}$$

其中 $\delta_{\pm 1} u_j = u_{j\pm 1}$.

用 Fourier 方法可知增长矩阵

$$G(\alpha h) = \begin{pmatrix} \frac{2r}{1+2r}(e^{i\alpha h} + e^{-i\alpha h}), & \frac{1-2r}{1+2r} \\ 1, & 0 \end{pmatrix} = \begin{pmatrix} \frac{4r}{1+2r} \cos \alpha h, & \frac{1-2r}{1+2r} \\ 1, & 0 \end{pmatrix} \quad (81)$$

注意 $G(\alpha h)$ 不是正规矩阵和不显含 τ , 所以下面利用命题 4 的推论, 给出 Dufort Frankel 格式稳定的充要条件.

易知矩阵 $G(\alpha h)$ 的特征方程为

$$\lambda^2 - \frac{4r \cos \theta}{1+2r} \lambda - \frac{1-2r}{1+2r} = 0, \quad \theta = \alpha h = 2\pi p h \in [0, 2\pi] \quad (82)$$

由于二次方程 (82) 的系数显然满足 (79), 故 $G(\alpha h)$ 的特征值按模 ≤ 1 , 即满足命题 4 的推论 的第一个条件.

其次, 注意 (82) 的二根为

$$\lambda_{1,2} = \frac{4r \cos \theta}{1+2r} \pm \frac{2}{1+2r} \sqrt{4r^2 \cos^2 \theta + (1-2r)^2}$$

二根之差

$$\lambda_1 - \lambda_2 = \frac{4}{1+2r} \sqrt{4r^2 \cos^2 \theta + (1-2r)^2}$$

而

$$1 - |\lambda_1| = 1 - \left(\frac{4r |\cos \theta|}{1+2r} + \frac{2}{1+2r} \sqrt{4r^2 \cos^2 \theta + (1-2r)^2} \right)$$

令 $\Lambda(\theta) = |1 - |\lambda_1|| + |\lambda_1 - \lambda_2|$, 显然

$$\Lambda(\theta) = 1 + |\cos \theta|, \quad \text{当 } r = \frac{1}{2}$$

$$\Lambda(\theta) \geq |\lambda_1 - \lambda_2| \geq \frac{4|1-2r|}{1+2r} > 0, \quad \text{当 } r \neq \frac{1}{2}$$

可见函数 $\Lambda(\theta)$ 对 $\forall r > 0$ 于 $[0, 2\pi]$ 有正的下界 $m > 0$.

另一方面,

$$G(x) - \frac{1}{2}(g_{11} + g_{22})I = \begin{pmatrix} \frac{2r}{1+2r} \cos \theta & \frac{1-2r}{1+2r} \\ 1 & -\frac{2r}{1+2r} \cos \theta \end{pmatrix}$$

其 F-模显然有上界 $K > 0$.

这样就证得了命题 4 的推论的第二个条件成立. 从而证得 (80) 格式对 $\forall r > 0$ 均稳定. □

习题 1 pp.121 3.2.1

收敛性

定理 若差分格式满足**相容性和稳定性**, 则差分解向量一致**收敛**于真解向量, 且有与截断误差相同的**收敛阶**

由该定理, 并利用前面的稳定性结果, 有如下结论:

- ① 当网比 $r \leq \frac{1}{2}$ 时, 向前差分格式的解收敛, 且收敛阶为 $O(\tau + h^2)$;
- ② 对于任何网比 $r > 0$, 向后差分格式的解收敛, 且收敛阶为 $O(\tau + h^2)$;
- ③ 对于任何网比 $r > 0$, 六点对称格式的解收敛, 且收敛阶为 $O(\tau^2 + h^2)$.

其它边界条件的处理

前面仅涉及第一类边界条件, 这对有限差分法比较容易处理. 然而对于第二或第三类边界条件, 处理起来就要困难些, 且可能会出现如下所谓的与内部处理的不协调问题:

离散的源头不一样, 具体表现为: 在边界节点处, 是从第二或第三类边界条件提供的微分方程出发, 进行离散; 在内部节点处, 是从原问题在求解域上满足的微分方程出发, 进行离散.

这样有时会导致: 降阶现象, 破坏对称性等;

今后介绍的广义差分法或有限元法, 可以很好地解决这些问题.